

**PSA**

**Determination of the Number of Software Tests Using Probabilistic Safety Assessment**

,

150

가

,

,

가

가

가

.

가

가

가

,

**Abstract**

The broader usage of digital equipment in nuclear power plants gives rise to the safety problems of software. The field test should be performed before the software is used in critical applications because it is well known that software shows non-linear response when it is applied to different target systems in different environment. In the case of safety-critical applications, the result of tests contains usually zero failure case and the satisfiable number of tests is hard to be determined. In this paper, we suggests the method to determine the number of software tests without failure using the probabilistic safety assessment. From the result of the probabilistic safety assessment on total system, the desirable unavailability of software is calculated and the number of tests is determined.

1.

5, 6

, 가

가

가

가

38% 가  
가

[1].

35%

가

가

가

가

가

가

가

가

가

가

가

가

가

가

가

2.

, 3 1 가  
가

가 가 ,

. Laplace

[2] ,

가

가

가

가

0 1

[3].

가

가

가

가

( )'

가

가

가

'error crystal'

가

(error crystal)

가

가

가

[3].

가

가

[4]

가

가

가

가

가

가

가

가

[5].

### 3.

### 가 (PSA)

가

가

가(probabilistic safety assessment; PSA)가

가

. PSA

PSA

가

가

1980

가

가

가

가

PSA

PSA

(event tree)

(fault tree)

(minimal cutset)

. PSA

가

(fault- tolerant feature)

가

가

가

, fail-safe

가

가

가

PSA

가

[6].

PSA

가,

가

가

가,

(common cause failure; CCF)

가

가

가

4.

가 가

가

가

가

PSA

PSA

가

가

PSA

가

-  
-  
-  
-  
-

가

가

가

< 1>

가

< 1>

, 2

가

가

Trip circuit breaker (TCB)

TCB 가

2

가

가

가

3 가

(watchdog timer)

가

heart-beat

가

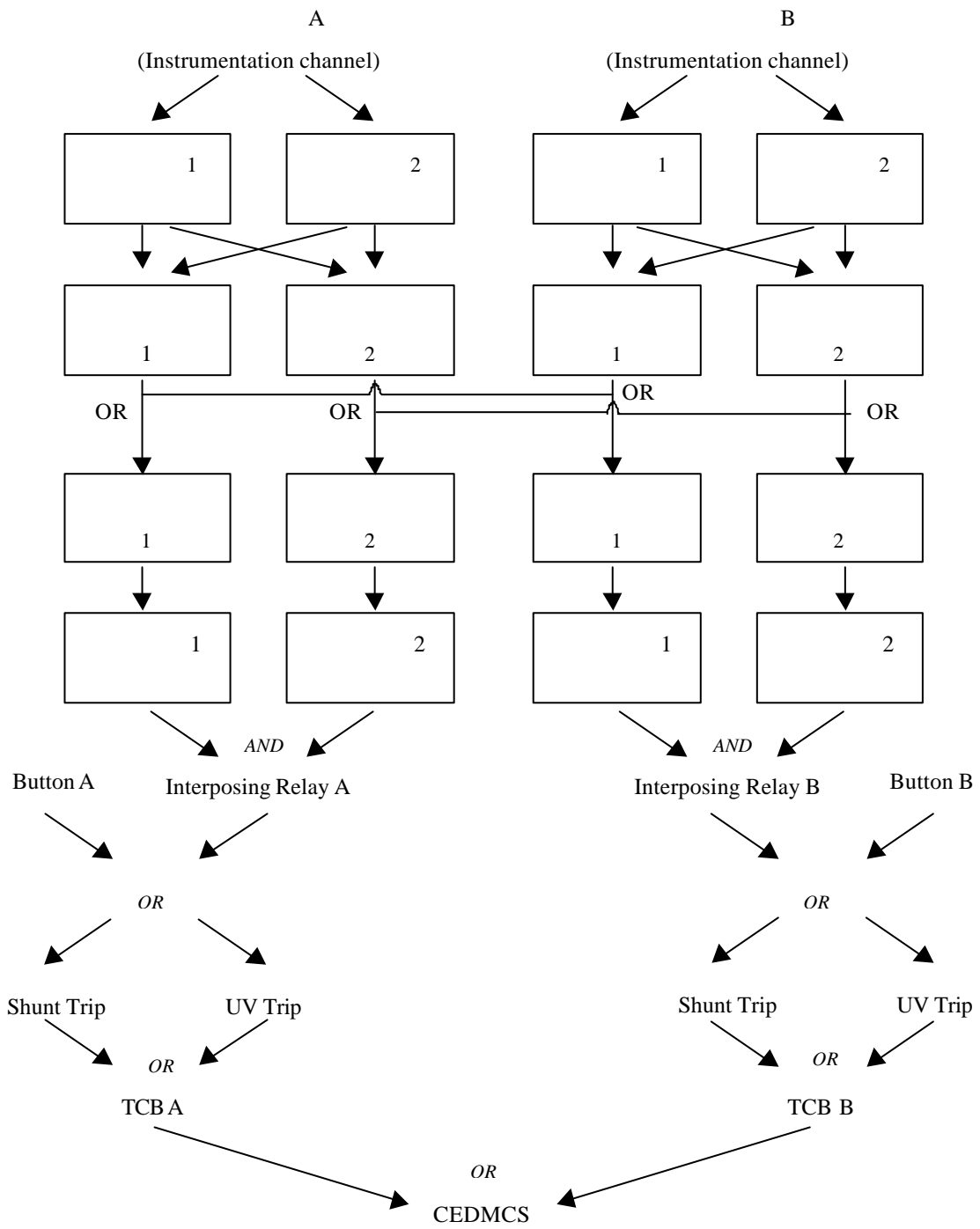
heart-beat

Interposing relay

가

가

가



( < 1> 가 2 가 )

(1)

TCB

가

TCB

(2)

가

, 가 가

가

(static)

(dynamic)

가

가

가

-

, 가 가

1 2

가

-

가

-

가

가

-

1 가 가 가

-

가

가

가

가

-

1 가 가 가

가 < 1> < 2> <

5>

KwTree

TCB,

< 1>

(3)

Kcut



Digital Output Module	$2 \times 10^{-6}$	$7.22 \times 10^{-4}$
CCF of Digital Output Modules	$2 \times 10^{-8}$	$7.22 \times 10^{-6}$
Processor Module	$4 \times 10^{-6}$	$1.44 \times 10^{-3}$
CCF of Processor Modules	$1 \times 10^{-7}$	$3.61 \times 10^{-5}$
Analog Input Module	$3 \times 10^{-6}$	$1.08 \times 10^{-4}$
CCF of Analog Input Modules	$2 \times 10^{-7}$	$7.22 \times 10^{-5}$
Watchdog Timer Contact	-	$1.00 \times 10^{-7}$
CCF of Watchdog Timer Contacts	-	$1.00 \times 10^{-8}$

가  $1 \times 10^{-5}$  가  $10^{-9}$   $10^{-12}$  가  
 < 2 >

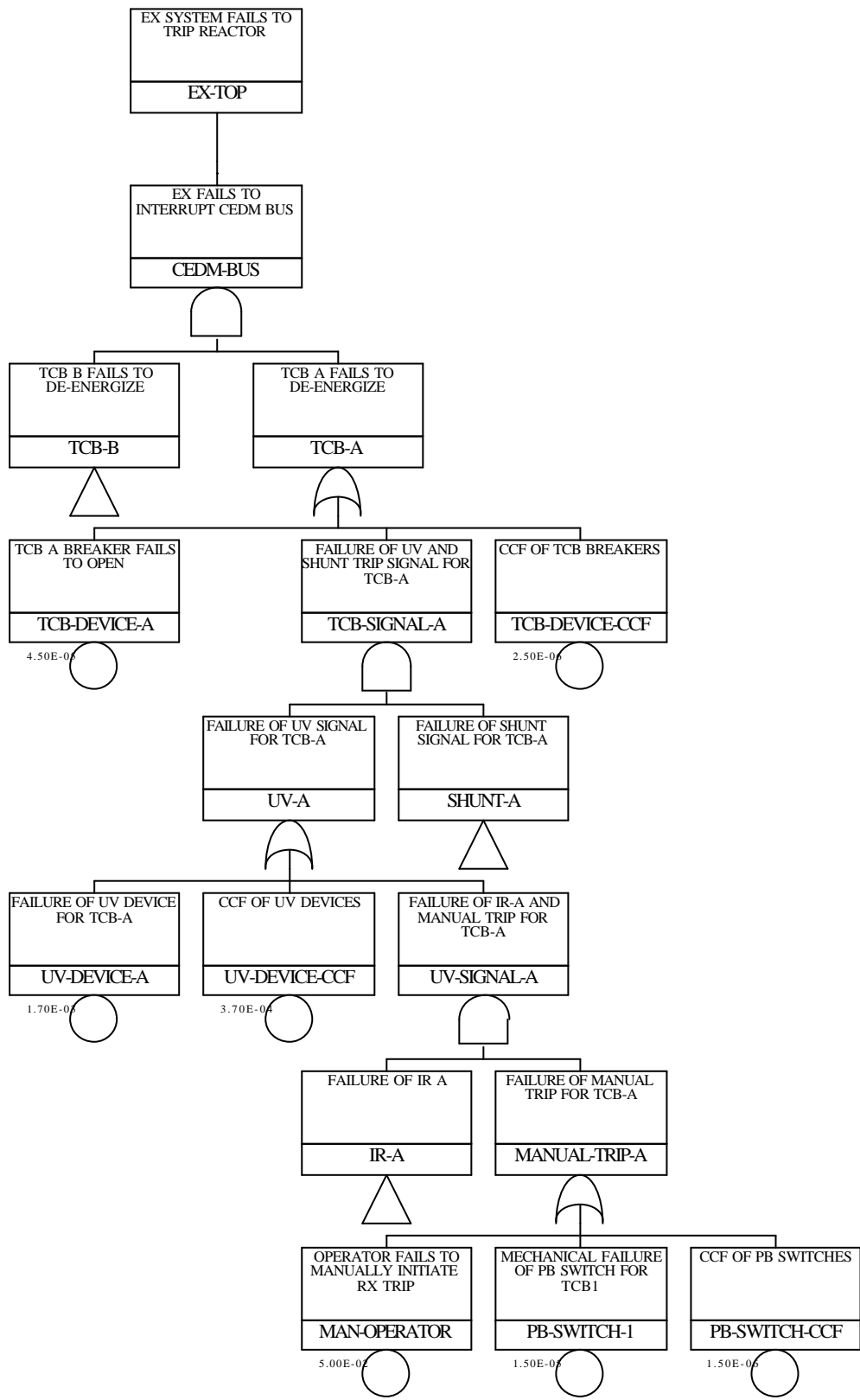
(4) 가 가

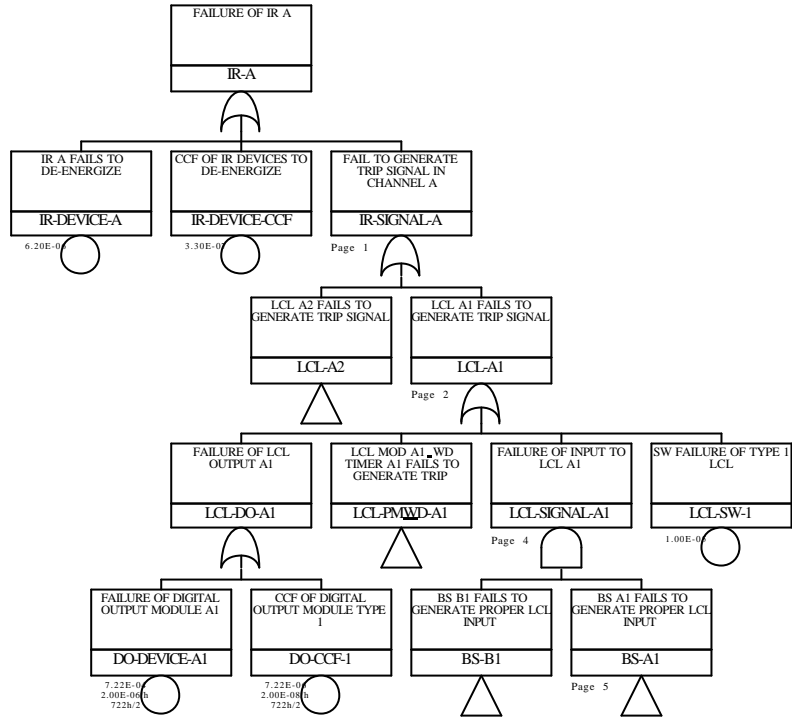
0  
 $3.42 \times 10^{-6}$  TCB, PSA  
 가 가 가가  
 가 가 가  $3.45 \times 10^{-6}$

(5) 가  
 < 2 > 2 5

OPERATOR'  $5 \times 10^{-2}$  f 가 'MAN-  
 가  
 $4 \times 5 \times 10^{-2} \times f = 3.45 \times 10^{-6} - 3.42 \times 10^{-6} = 3.0 \times 10^{-8}$ ,  
 $f = 1.5 \times 10^{-7}$

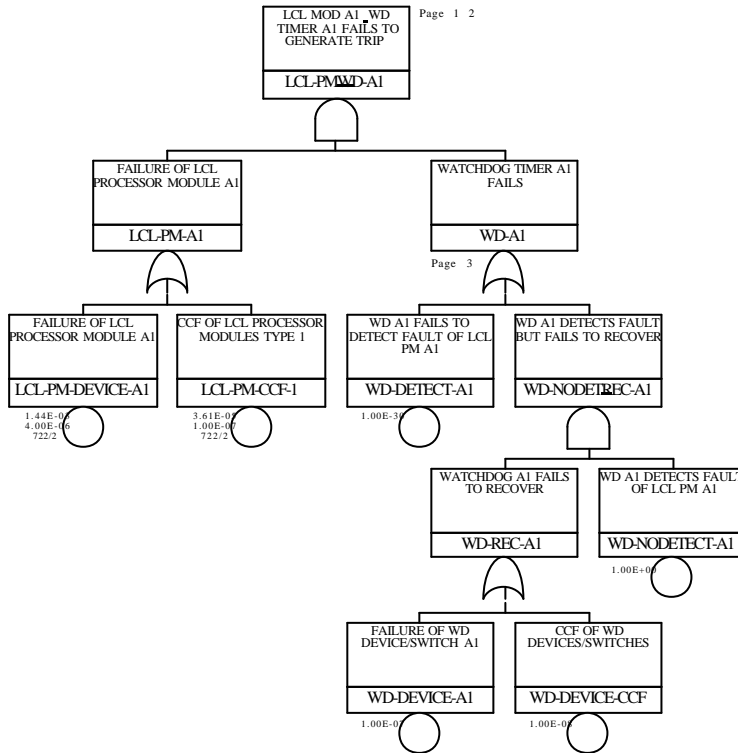
1.5  $\times 10^{-7}$  가  
 [7] 0.9 가





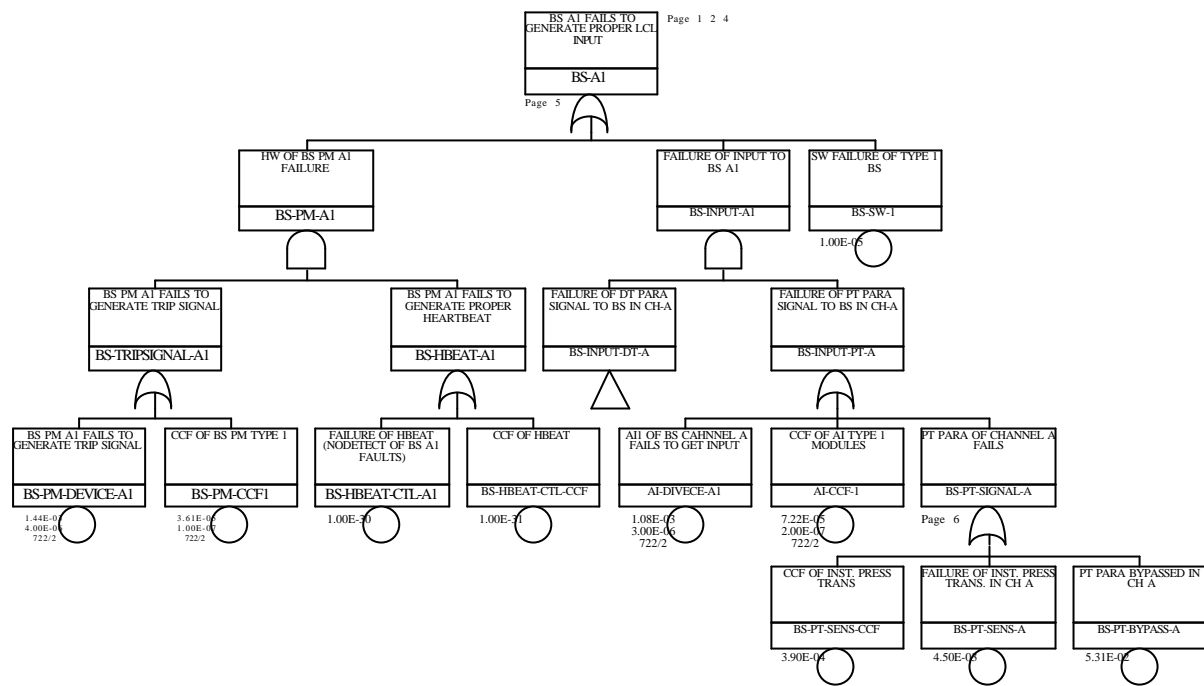
< 3>

2 (Interposing relay)



< 4>

3 ( )



< 5>

3 ( )

< 2>

1	2.500e-006	TCB-DEVICE-CCF				
2	5.000e-007	BS-SW-1	MAN-OPERATOR			
3	5.000e-007	MAN-OPERATOR	LCL-SW-2			
4	5.000e-007	LCL-SW-1	MAN-OPERATOR			
5	5.000e-007	MAN-OPERATOR	BS-SW-2			
6	3.610e-007	MAN-OPERATOR	DO-CCF-2			
7	3.610e-007	DO-CCF-1	MAN-OPERATOR			
8	2.606e-008	MAN-OPERATOR	DO-DEVICE-A2	DO-DEVICE-B2		
9	2.606e-008	DO-DEVICE-A1	MAN-OPERATOR	DO-DEVICE-B2		
10	2.606e-008	MAN-OPERATOR	DO-DEVICE-A2	DO-DEVICE-B1		
11	2.606e-008	DO-DEVICE-A1	MAN-OPERATOR	DO-DEVICE-B1		
12	1.650e-008	MAN-OPERATOR	IR-DEVICE-CCF			
13	8.510e-009	UV-DEVICE-CCF	SHUNT-DEVICE-CCF			
14	7.605e-009	BS-PT-SENS-CCF	BS-DT-SENS-CCF	MAN-OPERATOR		
15	4.660e-009	BS-PT-BYPASS-A	BS-DT-SENS-CCF	MAN-OPERATOR	BS-PT-SENS-B	
16	4.660e-009	BS-PT-SENS-CCF	BS-DT-BYPASS-A	MAN-OPERATOR	BS-DT-SENS-B	
17	4.660e-009	BS-PT-SENS-CCF	BS-DT-SENS-A	MAN-OPERATOR	BS-DT-BYPASS-B	
18	4.660e-009	BS-PT-SENS-A	BS-DT-SENS-CCF	MAN-OPERATOR	BS-PT-BYPASS-B	
19	2.855e-009	BS-PT-BYPASS-A	BS-DT-BYPASS-A	MAN-OPERATOR	BS-DT-SENS-B	BS-PT-SENS-B
20	2.855e-009	BS-PT-SENS-A	BS-DT-SENS-A	MAN-OPERATOR	BS-DT-BYPASS-B	BS-PT-BYPASS-B
21	2.855e-009	BS-PT-SENS-A	BS-DT-BYPASS-A	MAN-OPERATOR	BS-DT-SENS-B	BS-PT-BYPASS-B
22	2.855e-009	BS-PT-BYPASS-A	BS-DT-SENS-A	MAN-OPERATOR	BS-DT-BYPASS-B	BS-PT-SENS-B
23	2.025e-009	TCB-DEVICE-A	TCB-DEVICE-B			
24	1.625e-009	TCB-DEVICE-A	MAN-OPERATOR	DO-DEVICE-B1		
25	1.625e-009	MAN-OPERATOR	DO-DEVICE-A2	TCB-DEVICE-B		
26	1.625e-009	TCB-DEVICE-A	MAN-OPERATOR	DO-DEVICE-B2		
27	1.625e-009	DO-DEVICE-A1	MAN-OPERATOR	TCB-DEVICE-B		
28	1.408e-009	BS-PT-SENS-CCF	MAN-OPERATOR	AI-CCF-2		
29	1.408e-009	BS-DT-SENS-CCF	MAN-OPERATOR	AI-CCF-1		
30	1.118e-009	BS-DT-SENS-CCF	MAN-OPERATOR	AI-DIVECE-A1	BS-PT-BYPASS-B	
31	1.118e-009	BS-PT-SENS-CCF	BS-DT-BYPASS-A	MAN-OPERATOR	AI-DIVECE-B2	
32	1.118e-009	BS-PT-SENS-CCF	MAN-OPERATOR	AI-DIVECE-A2	BS-DT-BYPASS-B	
33	1.118e-009	BS-PT-BYPASS-A	BS-DT-SENS-CCF	MAN-OPERATOR	AI-DIVECE-B1	

$$n = \frac{\log(1-c)}{\log(1-f)} = \frac{\log(1-0.9)}{\log(1-1.5 \times 10^{-7})} \approx 1.535 \times 10^7$$

, 1.535 × 10<sup>7</sup>  
가  
1 180

5.

가 (PSA) 가  
가  
· PSA 가  
, 가  
·  
· 가  
· 가  
· 가  
· 가  
· 가  
· 가  
· 가  
· 가

[1] NEA/CSNI/R(97)23, Operating and maintenance experience with computer- based systems in nuclear power plants, 1998.

[2] J.C. Laplace & M. Brun, "Critical software for nuclear reactors: 11 years of field experience analysis," Proceedings of the 9th international symposium on software reliability engineering, p.364-368, 1998.

[3] National Research Council, Digital Instrumentation and Control Systems in Nuclear Power Plant: Safety and Reliability Issues, Chapter 6. Safety and Reliability Assessment Methods, National Academy Press, 1997.

[4] KAERI/AR-571/2000, 가 , 2000.

[5] KAERI/AR-565/2000, 가 , 2000.

[6] KAERI/AR-560/2000, 가 , 2000.

[7] P.E. Ammann, S.S. Brilliant & J.C. Knight, "The effect of imperfect error detection on reliability assessment via life testing," IEEE Transaction on Software Engineering, Vol. 20, No. 2, 1994.